

СООБЩЕНИЯ
ОБЪЕДИНЕННОГО
ИНСТИТУТА
ЯДЕРНЫХ
ИССЛЕДОВАНИЙ
ДУБНА



03439
A-177

P15 - 7216

4428/2-73

М.Абузейд, Г.М.Осетинский, Я.Тыкэ, Б.Фрыщин

ИССЛЕДОВАНИЕ РЕАКЦИИ $^{15}\text{N} ({}^3\text{He}, \text{p}) {}^{17}\text{O}$

1973

ЛАБОРАТОРИЯ НЕЙТРОННОЙ ФИЗИКИ

P15 - 7216

М.Абузейд, Г.М.Осетинский, Я.Тыкэ, Б.Фрыщин

ИССЛЕДОВАНИЕ РЕАКЦИИ $^{15}\text{N} ({}^3\text{He}, \text{p}) {}^{17}\text{O}$

Введение

Исследование реакции двойного срыва является весьма перспективным методом изучения возбужденных состояний ядер и предположений относительно их структуры. Так, например, в проводимом в настоящей работе исследовании реакции $^{15}N(^3He, p)^{17}O$ для ядра ^{17}O известна структура основного ($\frac{5}{2}^+$) и первого возбужденного состояний ($\frac{1}{2}^+$) - она одночастичная и хорошо изучена в реакции срыва и подхвата одного нуклона. Вопрос о структуре второго возбужденного состояния этого ядра до сих пор не решен, и в ряде теоретических работ приводятся по этому поводу противоречивые предположения¹⁻⁵. В этой связи новое рассмотрение реакции $^{15}N(^3He, p_2)^{17}O^*$ может явиться решающей проверкой предположений о структуре этого состояния. Интерес к реакции $^{15}N(^3He, p)^{17}O$ связан также с тем, что на кривых возбуждения реакции ($^3He, p$) для ядра ^{15}N и соседних с ним ядер наблюдаются широкие максимумы, природа которых недостаточно ясна. Представленные в настоящей работе результаты измерений энергетических зависимостей дифференциальных и полных сечений каналов p_0, p_1, p_2, p_3, p_4 реакции $^{15}N(^3He, p)^{17}O$ могут оказаться полезными для выяснения этой структуры.

Методика эксперимента

Измерения проводились на пучке ионов 3He электростатического генератора ОИЯИ. Ионы 3He , пройдя ионопровод и коллиматор диаметром 1,8 мм, длиной 110 мм, попадают на газовую мишень, установленную

в центре камеры рассеяния. В работе использовались мишени двух типов: "длинная" мишень для измерений дифференциальных сечений под углами 45° , 90° , 135° и "точечная" для измерения угловых распределений. Мишени наполнялись азотом-15 концентрации 98,5% до давления ~40 мм рт.ст. Выход протонов из реакции измерялся поверхностью-барьерными детекторами с дрейфом лития. Конструкция камеры и мишеней, методика измерений, расчетные формулы дифференциальных и полных сечений аналогичны описанным ранее^{16,71}.

Результаты измерений

На рис. 1, 2 и 3 представлены результаты измерений дифференциальных сечений реакций $^{15}N(^3He, p_0)^{17}O$, $^{15}N(^3He, p_1)^{17}O$, $^{15}N(^3He, p_2)^{17}O$, $^{15}N(^3He, p_3)^{17}O$, $^{15}N(^3He, p_4)^{17}O$, проведенных под углами 45° , 90° , 135° в лабораторной системе координат в интервале энергий 2,2 - 4,2 МэВ с шагом 60-90 кэВ. На рис. 4 и рис. 5а показаны угловые распределения для протонов каналов p_0 , p_1 , p_2 в этом же интервале энергий. Измерения выполнялись через каждые $5-10^\circ$ в диапазоне углов $2-165^\circ$ в лабораторной системе координат. На рис. 5б представлены полные сечения этих каналов реакций, полученные путем интегрирования угловых распределений.

Средние квадратичные ошибки измерений дифференциальных и полных сечений групп p_0 , p_1 , p_2 , p_3 , p_4 приведены в табл. 1

Большая ошибка для канала p_4 связана с неопределенностью в выделении этого пика на энергетическом спектре.

Ошибки в определении энергии ускоренных ионов 3He принимают значения от 1,5% до 0,7% при изменении энергии от 2 до 4,1 МэВ соответственно. Разброс по энергии падающих ионов 3He при прохождении входного окошка газовой мишени составляет: для "длинной" мишени ~20 кэВ, для "точечной" мишени ~40 кэВ.

Таблица 1

Средняя квадратичная ошибка измерений	Реакция $^{15}N(^3He, p)^{17}O$				
	p_0	p_1	p_2	p_3	p_4
Дифференциальные сечения	Статистич. ошибка	2-3%	2-3%	2-3%	2-4% 15-20%
	Полная ошибка	3-4%	3-4%	3-6%	3-4% 15-20%
Полные сечения	не более 4%	не более 4%	не более 6%	-	-

Обсуждение результатов

Реакция $^{15}N(^3He, p_0)^{17}O$

Угловые распределения протонов реакции $^{15}N(^3He, p_0)^{17}O$ характеризуются значительной симметрией относительно 90° , что указывает на преобладающую роль в реакции механизма составного ядра. Расчеты, проведенные по методу Хаузера-Фешбаха при энергии 3,8 МэВ, дают симметричное угловое распределение, совпадающее по форме с усредненным по энергии экспериментальным угловым распределением /рис. 6а/. Расчеты, выполненные при этой же энергии по борновскому приближению с искаженными волнами с использованием подхода Глендиннинга¹⁸¹, ведут к существенно асимметричным угловым распределениям /кривая 2, рис. 6а/. Указанная кривая, рассчитанная по методу Хаузера-Фешбаха, соответствует отношению $\frac{D_0}{\Gamma_0} = 0,040$. При энергии 2,6 МэВ согласие теоретического углового распределения с экспериментом хуже. Отношение D_0/Γ_0 , определенное по полному сечению, составляет 0,145.

Реакция $^{15}N(^3He, p_1) ^{17}O^*$

¹⁵ Как видно из рис. 4, угловые распределения реакции $N(^3He, p_1) ^{17}O^*$ указывают на растущий с энергией вклад механизма прямой передачи двух нуклонов. Расчет угловых распределений по методу искаженных волн предсказывает наличие максимума в области угла 15° , что не совпадает с экспериментально наблюдаемым под углом 0° . Причем проводимое при расчетах изменение /в разумных пределах/ параметров оптических потенциалов не приводит к согласию. Отметим, что такое несовпадение расчетов по БПИВ с данными эксперимента связано с наложением ряда неблагоприятных факторов, обсуждаемых в работах ^{/9-12/}. К ним в первую очередь следует отнести:

1. Большое Q реакции, приводящее к так называемому рассогласованию орбитальных моментов во входном и выходном каналах реакции.

2. Имеющая место передача нуклонов различным подоболочкам.

3. Неопределенность значения изотопического спина пары передаваемых нуклонов.

При энергии $E_{3He} = 2,6$ Мэв, когда преобладает механизм составного ядра, расчеты по методу Хаузера-Фешбаха дают отношение $D_0/\Gamma_0 = 0,186$ /определен по кривой полных сечений/.

Реакция $^{15}N(^3He, p_2) ^{17}O^* // Q = 3,06$ Мэв/

Исследование этого канала реакции представляет наибольший интерес, поскольку полученные экспериментальные результаты позволяют определить, какая из предлагаемых волновых функций для второго возбужденного состояния ^{17}O является предпочтительней. Весьма надежное и облегченное теоретическое описание этого канала возможно благодаря относительно небольшому Q реакции и имеющей место передаче двух нуклонов в одну подоболочку. /Как было указано в предыдущем параграфе, в случае передачи двух нуклонов

различным подоболочкам ^{/9,11,12/} описание реакции затруднено/. К моменту начала настоящей работы были предложены три выражения для волновой функции второго возбужденного состояния ^{17}O . В первом из них рассматривалось второе возбужденное состояние ядра ^{17}O как конфигурация $(sd)^4 p_{1/2}^{-3}$ /нейтрон в подоболочке $1p_{1/2}$ и четыре нуклона в оболочке $(sd)^1$ /, что было теоретически и экспериментально обосновано в ряде работ ^{/1-3,13/}. Однако такая конфигурация ведет к нулевым значениям спектроскопических амплитуд и, следовательно, дифференциальных сечений реакций прямой передачи двух нуклонов, что явно противоречит нашим экспериментальным результатам.

В 1965 году Марголис и Такакси ^{/4/} предложили выражения для волновой функций этого состояния ядра ^{17}O в виде

$$\begin{aligned} <^{17}O_{3.06}| > = & -0.2 |d_{5/2}(1.0)p_{1/2}^{-1}> -0.13 |s_{1/2}^2(1.0)p_{1/2}^{-1}> + \\ & + 0.14 |d_{5/2}d_{3/2}(1.0)p_{1/2}^{-1}> + 0.85 |d_{5/2}^2(0.1)p_{1/2}^{-1}> + \\ & + 0.3 |s_{1/2}^2(0.1)p_{1/2}^{-1}> + 0.17 |d_{5/2}(0.1)p_{1/2}^{-1}> \dots /1/ \end{aligned}$$

Здесь в скобках указаны значения (J, T) , где J, T - полный спин и изоспин пары передаваемых нуклонов.

Указанная функция описывает положение энергетического уровня, данные по β^- -распаду ^{17}N , а также данные реакции $^{16}O(d, p) ^{17}O$. В 1969 году Бобкер ^{/5/}, пытаясь получить лучшее согласие теоретических расчетов энергии возбуждения с экспериментальными данными, пришел к волновой функции вида

$$\begin{aligned} <^{17}O_{3.06}| > = & 0.076 |d_{5/2}^2(1.0)p_{1/2}^{-1}> + 0.093 |s_{1/2}^2(1.0)p_{1/2}^{-1}> - \\ & - 0.53 |d_{5/2}(0.1)p_{1/2}^{-1}> - 0.282 |s_{1/2}^2(0.1)p_{1/2}^{-1}> + \\ & + 0.791 |(s d)^4 p_{1/2}^{-3}>. /2/ \end{aligned}$$

Основное различие между /1/ и /2/ состоит в присутствии в /2/ конфигурации $(sd)^4 p_{1/2}^{-3}$, не дающей вклада в механизм прямой передачи двух нуклонов, что приводит к теоретическим значениям дифференциальных сечений, отличающимся друг от друга примерно в два раза. Теоретические расчеты, проведенные по методу искаженных волн Гленденнинга /8/ с учетом вклада механизма составного ядра по методу Хаузера-Фешбаха /14,15/ и с использованием параметров оптического потенциала табл. 2, представлены на рис. 6б. Подгонка теоретических расчетов к экспериментальным данным проводилась по формуле вида

$$\frac{d\sigma(\theta)}{d\Omega} = RN\sigma(\theta) \text{бпив} + \frac{D_0}{\Gamma_0} \langle \sigma(\theta) \rangle. \quad /3/$$

Здесь $N\sigma$ бпив - дифференциальное сечение прямой передачи двух нуклонов; N - коэффициент нормировки, принятый нами согласно работе /16/ равным 310. R - коэффициент перенормировки. Его значение, близкое к единице, подтверждает правильность предположений относительно введенных в расчет волновых функций начального и конечного ядра. Фактор ослабления в формуле /3/ не учитывался.

Второе слагаемое в уравнении /3/ является дифференциальным сечением, рассчитываемым по методу Хаузера-Фешбаха. Величина $1/\Gamma_0$ рассматривается здесь как подгоночный параметр. Экспериментальные точки, указанные на рис. 6, соответствуют усредненным значениям дифференциальных сечений, измеренных при энергии 3,5; 3,8; 3,94 Мэв.

Как видно из рисунка, кривые, проведенные с использованием волновых функций Марголиса и др. и Бобкера, дают одинаково хорошее согласие относительного хода теоретических угловых распределений с экспериментальными. Для получения согласия по абсолютному значению данные Марголиса требуют большой перенормировки абсолютных значений дифференциальных сечений / $R = 0,487$ /, рассчитанных по БПИВ. С другой стороны, волновая функция Бобкера приводит к диффе-

Таблица 2

Канал реакции	r	a	V	f_m	f_m	W	r'	a'	r_c	Тип поглощ.	Лит-ра
$^{15}N + ^3He$	160	1,3	0,63	18	1,8	0,63	1,3	S		/21/	
$^{17}O + p$	47,96	1,25	0,65	6,55	1,25	0,47	1,25	D		/22/	

S, D - объемное и поверхностное поглощение.

ренциальному сечению, не требующему перенормировки $/R=0,96/$, и тем самым находится в хорошем согласии с нашими экспериментальными результатами.

Вклад механизма составного ядра, рассчитываемый по методу Хаузера-Фешбаха, соответствует отношению D_0/Γ_0 , равному 0,057. В расчетах параметр отсечки по спину принимался равным -2. Коэффициенты трансмиссии вычислялись по оптической модели с использованием параметров оптических потенциалов, приведенных в табл. 2. При энергии ускоренных ионов ${}^3\text{He}$ $E_{{}^3\text{He}} = 2,6$ Мэв вклад механизма составного ядра становится большим, что делает полное теоретическое описание углового распределения невозможным. Расчеты по методу Хаузера-Фешбаха, выполненные при этой энергии, дают лишь оценку верхней границы значения D_0/Γ_0 .

Согласно оценке $D_0/\Gamma_0 < 0,316$.

Составное ядро ${}^{18}\text{F}$

Интервал энергий, в пределах которого проведены настоящие исследования, соответствует области возбуждения составного ядра ${}^{18}\text{F}$ 16,0 - 17,6 Мэв. Для этой области возбуждения нами получены данные о средних полных ширинах ($\bar{\Gamma}_0$) уровней со спином нуль. Эти данные представлены в табл. 3. В этой же таблице приведены результаты $\bar{\Gamma}_0$, взятые из нашей работы⁷.

Оценка энергии когерентности была сделана на основании автокорреляционной функции, построенной для кривой возбуждения реакции ${}^{15}\text{N}({}^3\text{He}, p_0){}^{17}\text{O}$ под углом 135° , где амплитуда флюктуаций наибольшая. Величина среднего расстояния между уровнями со спином 0, обозначенная D_0 , рассчитывалась по статистической модели /17,18/. Для энергий возбуждения 16,2 и 17,3 Мэв величина D_0 составляет 16,2 и 11,7 кэв соответственно. Справедливость проведенной оценки была проверена на примере расчета среднего расстояния между уровнями со спином 6, экспериментальное значение которого согласно работе^{19/} составляет 200 кэв. Соответствующее

Таблица 3

Тип реакции	D_0/Γ_0	$\bar{\Gamma}_0$ (кэв)		Когерентная ширина (кэв)
		$E^*=16,2$ Мэв	$E^*=17,3$ Мэв	
${}^{15}\text{N}({}^3\text{He}, d){}^{16}\text{O}$	0,052	0,014	310	840
${}^{15}\text{N}({}^3\text{He}, p_0){}^{17}\text{O}$	0,145	0,040	115	290
${}^{15}\text{N}({}^3\text{He}, p_1){}^{17}\text{O}^*$	0,186	-	87	-
${}^{15}\text{N}({}^3\text{He}, p_2){}^{17}\text{O}^*$	$\leq 0,32$	$< 0,057$	≥ 51	≥ 205
${}^{15}\text{N}({}^3\text{He}, p_3){}^{17}\text{O}^*$	$\leq 0,33$	-	> 49	-
${}^{15}\text{N}({}^3\text{He}, p_4){}^{17}\text{O}^*$	$\leq 0,109$	-	-	-
Dzubay	-	-	162	- 250
		/20/	-	-

нашему D_0 , расчетное значение D^{6+} равняется 220 кэв. Как видно из таблицы 3, значения $\bar{\Gamma}_0$, определенные различными методами, согласуются между собой и с данными работы /20/, несмотря на пренебрежение фактором ослабления, который может быть различным в различных каналах реакции. Полученные при исследовании реакции $^{15}N(^3He, d_0) ^{16}O$ /7/ завышенные значения $\bar{\Gamma}_0 / E_{\text{возд.}}$ = 17,3 Мэв/ связаны с малым вкладом механизма составного ядра в этой реакции, который приводит к большой ошибке определения $\bar{\Gamma}_0/D_0$.

Ход зависимости полных сечений различных каналов реакции от энергии характеризуется определенной нерегулярностью в области $E_{^3He} = 3,25$ Мэв. Соответствующая этой энергии $E_{^3He}$ энергия возбуждения ядра ^{18}F хорошо совпадает с положением одного из резонансов с $J^\pi = 7^-$ с $\Gamma = 200$ кэв, который упоминался в работе /19/. Однако, как уже указывалось ранее /7/, наблюдаемые нерегулярности вряд ли могут быть отнесены к проявлению этого состояния.

Авторы благодарны Ким Сын Наму, И. Тыкэ, М. В. Савенковой за помощь в работе.

Литература

1. R.F.Christy, W.A.Fowler. *Phys.Rev.*, 96, A851 (1954).
2. I.Unna, I.Talmi. *Phys.Rev.*, 112, 452 (1958).
3. H.G.Silbert, J.C.Hopkins. *Phys.Rev.*, 134, B16 (1964).
4. B.Margdis, N. de Takácsy. *Can.J.Phys.*, 44, 1431 (1966).
5. J.Bobker. *Phys.Rev.*, 185, 1294 (1969).
6. М. Абузейд, Г. М. Осетинский, Я. Тыкэ, Б. Фрыщин. *ОИЯИ, Р15-7121, Дубна, 1973.*
7. Г. М. Осетинский, Я. Тыкэ, Б. Фрыщин, *ОИЯИ, Р15-7156, Дубна, 1973.*
8. N.K.Glendenning. *Phys.Rev.*, 137, B102 (1965).
9. D.K.Olsen, R.E.Brown. *Nucl.Phys.*, A170, 544 (1971).
10. I.S.Towner, J.C.Hardy. *Adv.Phys.*, 74, 401 (1969).
11. J.Cerny, B.G.Harvey, R.H.Pehl. *Nucl.Phys.*, 29, 120 (1962).
12. J.B.Ball, C.D.Goodman. *Phys.Rev.*, 120, 488 (1960).
13. M.Harvey. *Phys.Lett.*, 3, 209 (1963).
14. W.Hauser, H.Feshbach. *Phys.Rev.*, 87, 366 (1952).
15. K.A.Eberhard, P. von Brentano; M.Bohning, R.O.Stephen. *Nucl. Phys.*, A125, 673 (1969).

16. E.R.Flynn, O.Hansen. *Phys.Lett.*, 31, B135 (1970).
17. A.Gilbert, A.G.W.Cameron. *Can.Phys.*, 43, 1446 (1965).
18. A.G.W.Cameron. *Can.J.Phys.*, 36, 1040 (1958).
19. P.B.Tallesfrud, P.L.Johvette. *Phys.Rev.*, C1, 398 (1970).
20. T.G.Dzubay. *Phys.Rev.*, 158, 977 (1967).
21. W.Bohne, H.Homeyer, H.Lettaw, H.Morgenstern, J.Scheer, F.Sichel-schmidt. *Nucl.Phys.*, A128, 537 (1969).
22. I.M.Nagib, L.L.Green. *Nucl.Phys.*, A112, 76 (1968).

Рукопись поступила в издательский отдел
4 июня 1973 года.

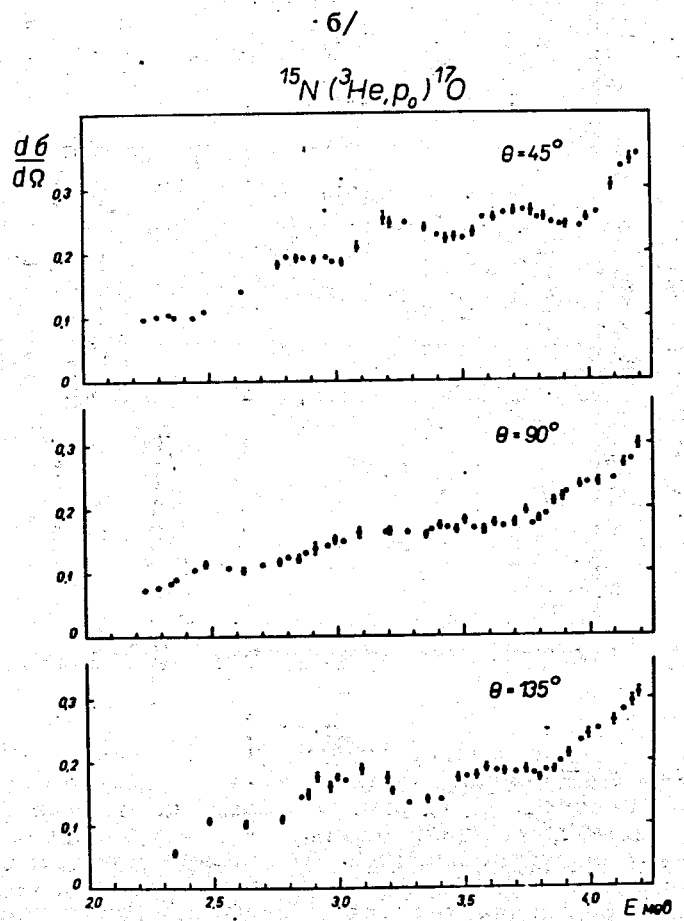
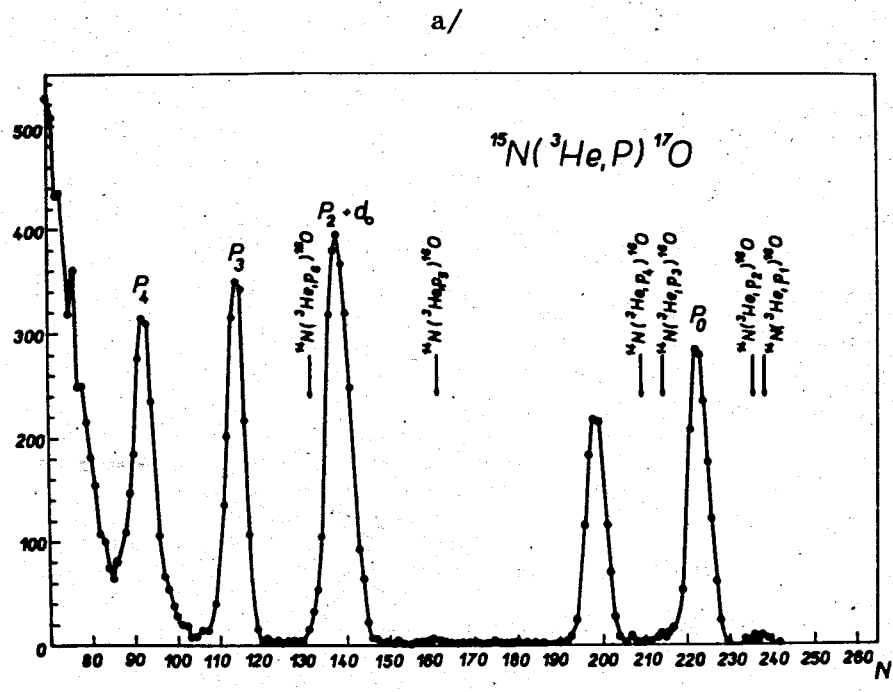


Рис.1. а/Типичный энергетический спектр продуктов реакции ${}^{15}\text{N}({}^3\text{He}, \text{p}) {}^{17}\text{O}$, измеренный под углом 90° в л.с. при $E_{^3\text{He}} = 2,9$ Мэв. б/ Дифференциальные сечения реакции ${}^{15}\text{N}({}^3\text{He}, \text{p}_0) {}^{17}\text{O}$. По оси абсцисс - энергия в Мэв. По оси ординат - $d\sigma/d\Omega$ в мбарн/стерад. Данные в л.с. Ошибки измерения $d\sigma/d\Omega$ - статистические.

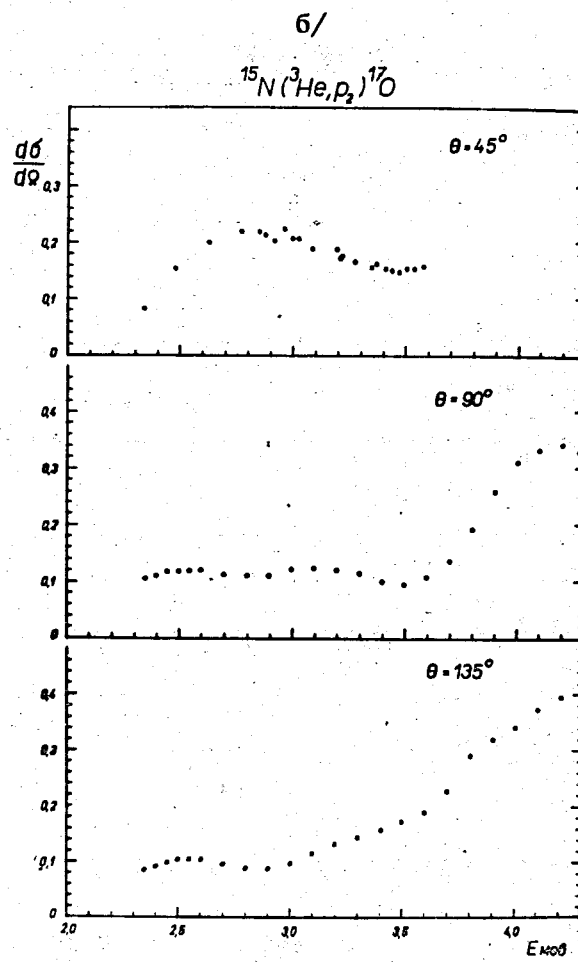
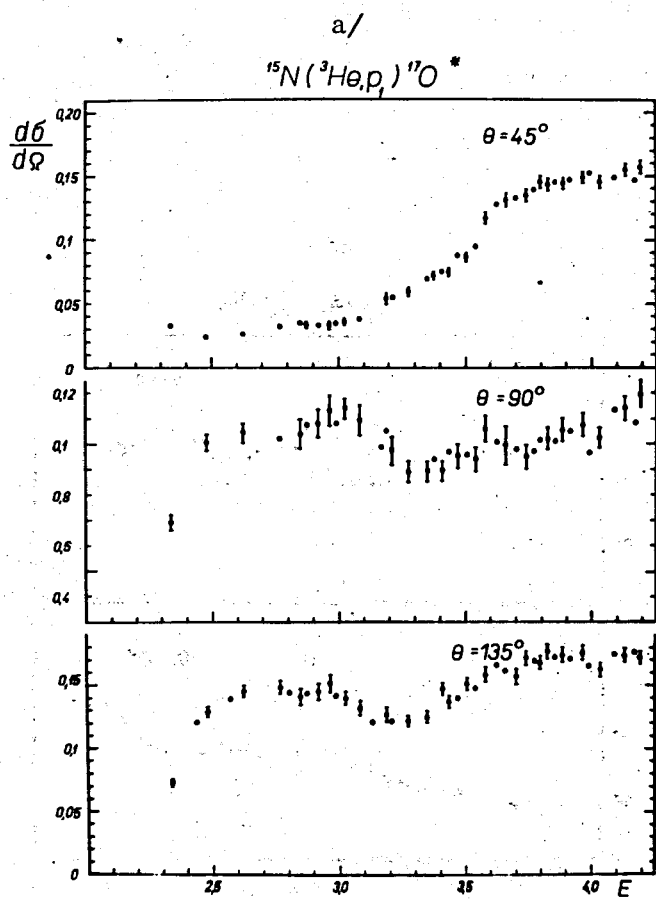


Рис. 2. а/ Дифференциальные сечения реакции $^{15}\text{N}({}^3\text{He}, p_1)^{17}\text{O}^*$. На оси абсцисс - энергия в Мэв. На оси ординат - $d\sigma / d\Omega$ в мбарн/стерад. Данные - в л.с. Ошибки измерения - статистические. б/ Дифференциальные сечения реакции $^{15}\text{N}({}^3\text{He}, p_2)^{17}\text{O}^*$. На оси абсцисс - энергия в Мэв. По оси ординат- $d\sigma / d\Omega$ в мбарн/стерад. Данные - в л.с. Ошибки измерения - статистические.

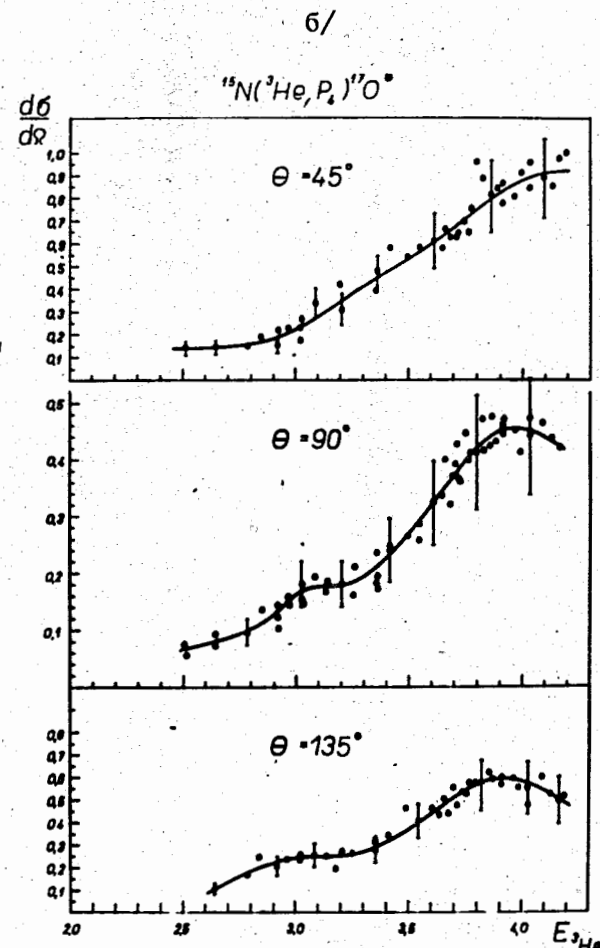
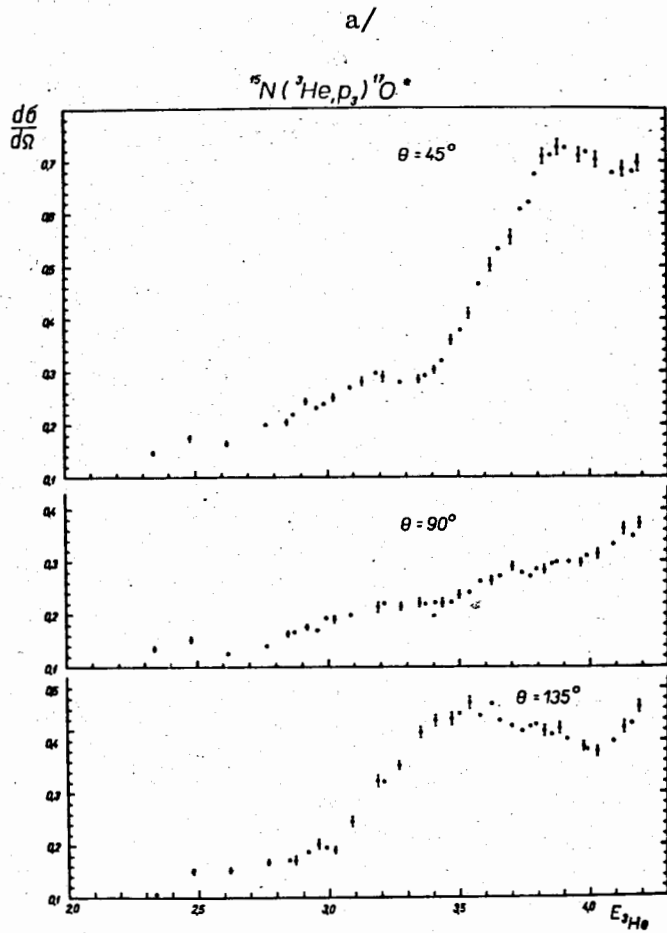


Рис. 3. а/ Дифференциальные сечения реакции $^{15}N(^3He, p_3)^{17}O^*$.
На оси абсцисс - энергия в Мэв в л.с. На оси ординат - дифференциальные сечения в мбарн/стераид в этой же системе. Ошибки измерения - статистические.
б/ Дифференциальные сечения реакции $^{15}N(^3He, p_4)^{17}O^*$.
На оси абсцисс - энергия в Мэв в л.с. На оси ординат - дифференциальные сечения в мбарн/стераид в этой же системе. Ошибки измерения - статистические.

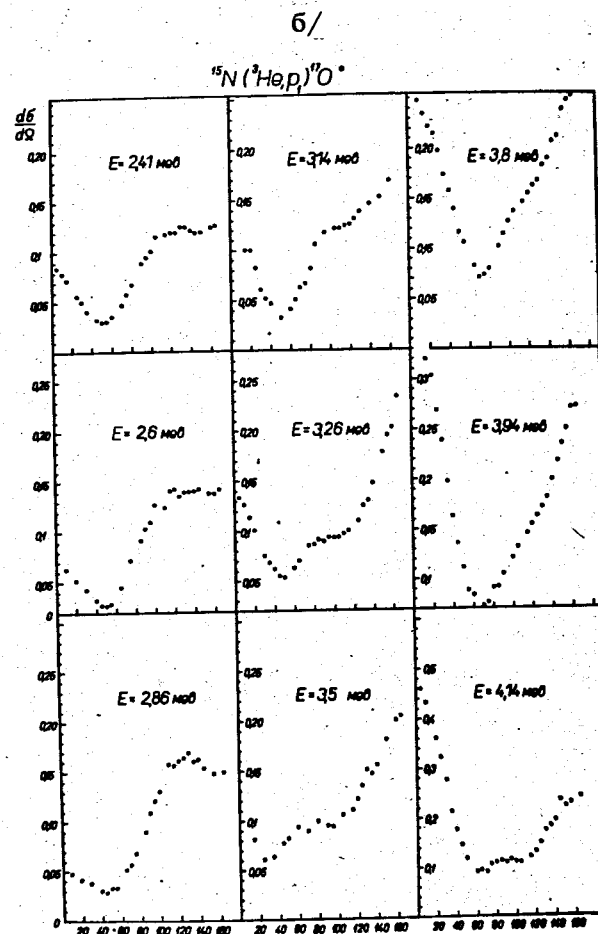
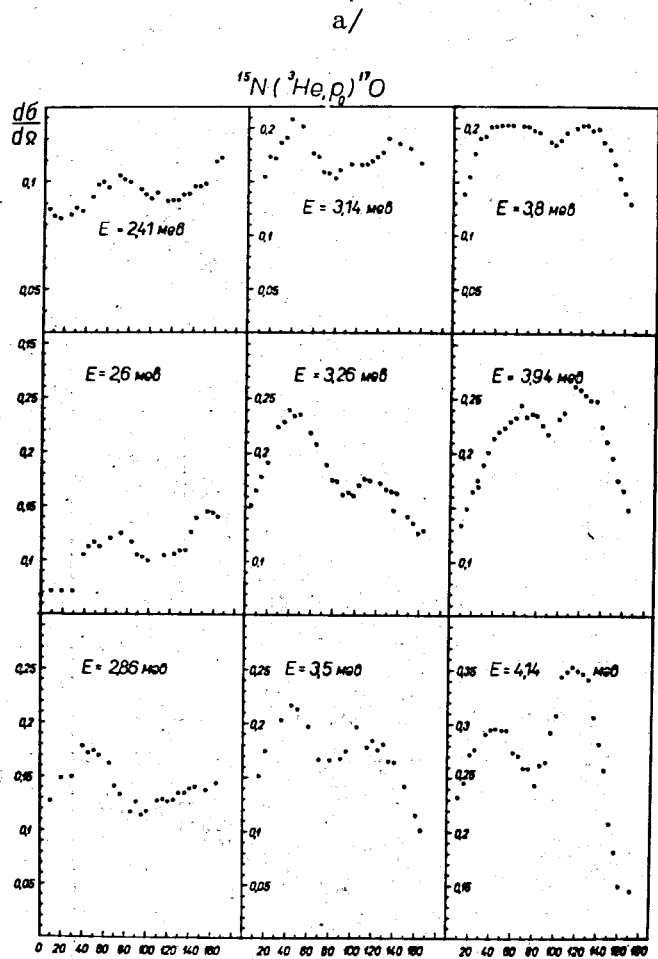


Рис. 4. а/ Угловые распределения протонов реакции $^{15}\text{N}({}^3\text{He}, p_0)^{17}\text{O}$. На оси абсцисс - угол наблюдения в градусах. На оси ординат - дифференциальное сечение в мбарн/стераид. Данные - в л.с. Приведенные ошибки - статистические. б/ Угловые распределения протонов реакции $^{15}\text{N}({}^3\text{He}, p_1)^{17}\text{O}^*$. На оси абсцисс - угол наблюдения в градусах. На оси ординат - дифференциальные сечения в мбарн/стераид. Данные - в системе центра масс. Приведенные ошибки - статистические.

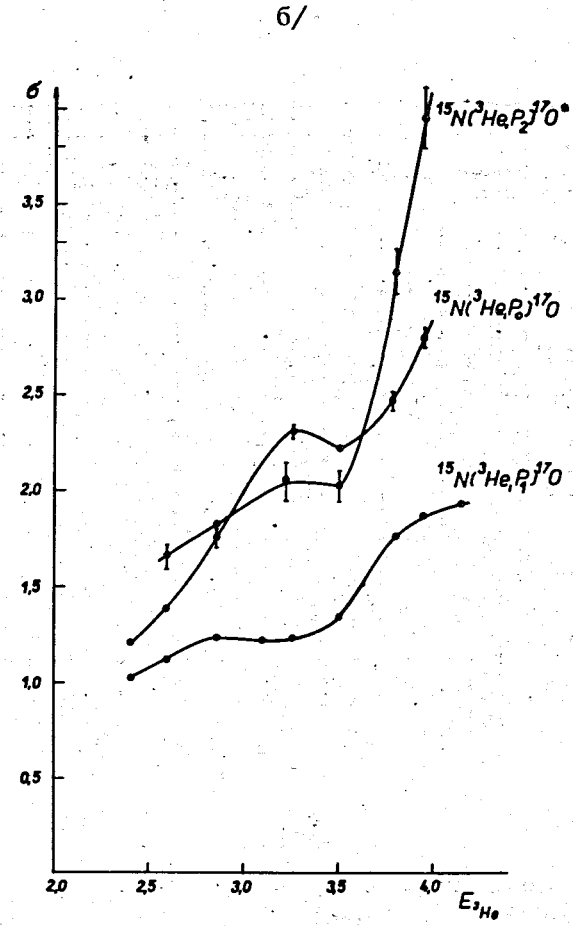
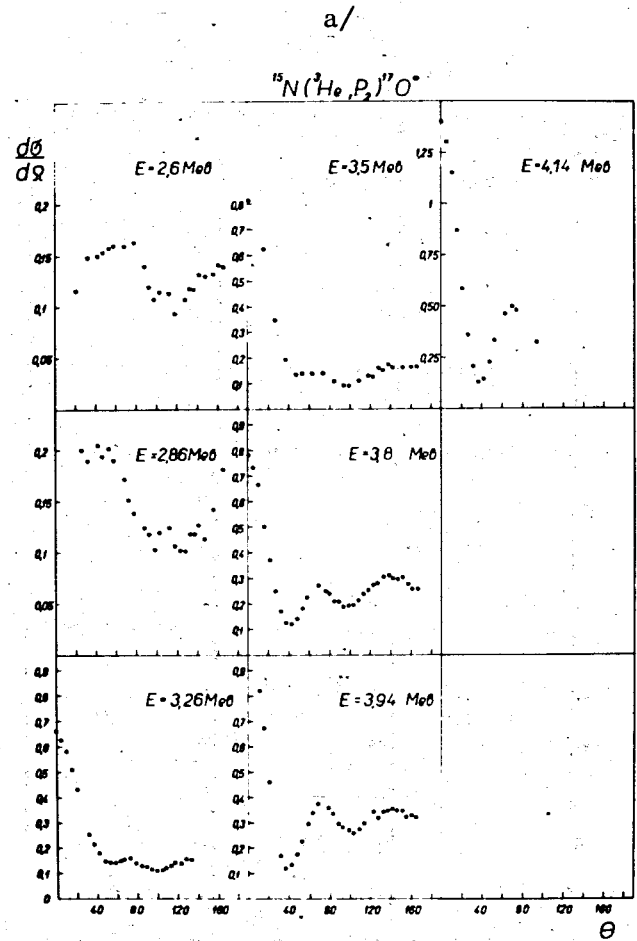


Рис. 5. а/ Угловое распределение протонов реакции $^{15}\text{N}({}^3\text{He}, p_2)^{17}\text{O}^*$. На оси абсцисс - угол наблюдения в градусах. На оси ординат - дифференциальные сечения в мбарн/стерад. Данные - в системе центра масс. Приведенные ошибки - статистические. б/ Полные сечения реакций $^{15}\text{N}({}^3\text{He}, p_0)^{17}\text{O}$, $^{15}\text{N}({}^3\text{He}, p_1)^{17}\text{O}^*$, $^{15}\text{N}({}^3\text{He}, p_2)^{17}\text{O}^*$. По оси абсцисс - энергия ${}^3\text{He}$ в Мэв. По оси ординат - сечение в миллибарнах. Приведенные ошибки измерений - статистические. Данные - в л.с.

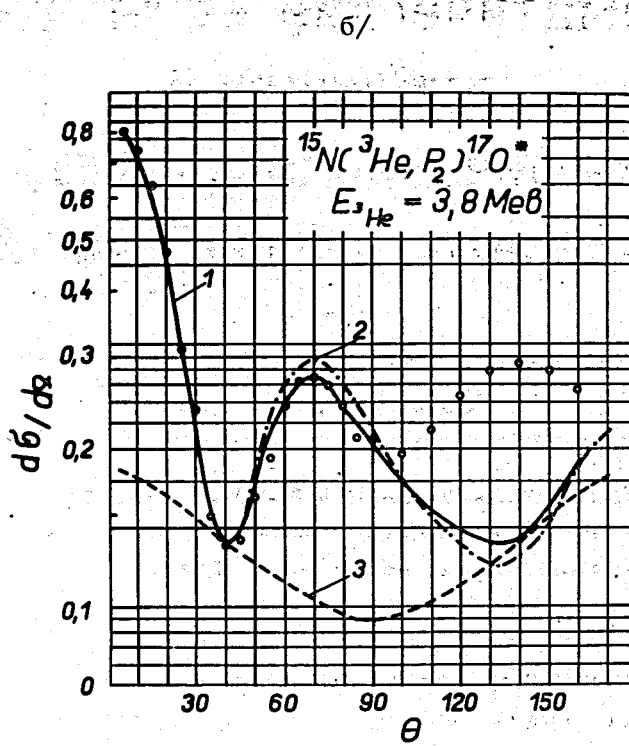
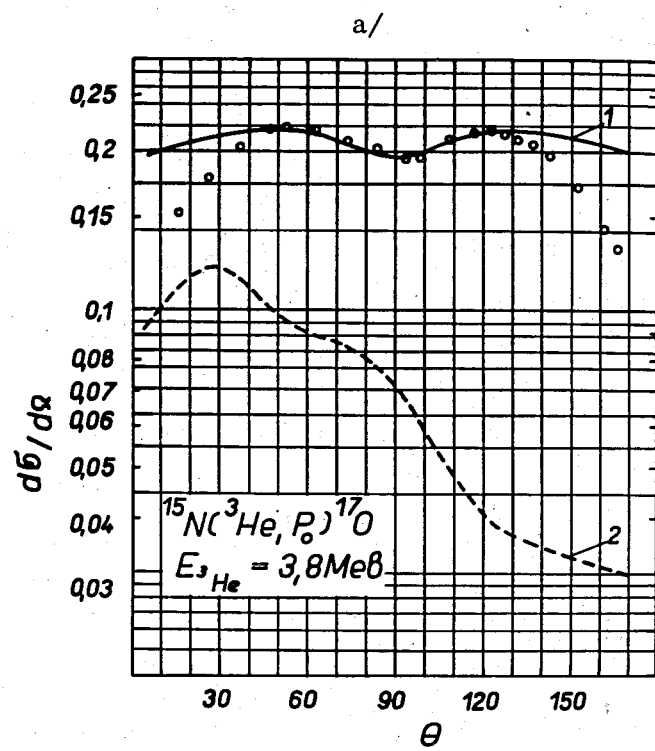


Рис. 6. Сравнение расчетной кривой угловых распределений реакции $^{15}\text{N}(^3\text{He}, p_0)^{17}\text{O}$ с усредненным экспериментальным распределением при $E_{^3\text{He}} = 3,8$ Мэв. 1 - кривая, рассчитанная по теории Хаузера-Фешбаха; 2 - кривая, рассчитанная по методу БПИВ с орбитальным моментом переданной пары $L = 3$; о - экспериментальные данные. б/ Сравнение теоретических кривых углового распределения реакции $^{15}\text{N}(^3\text{He}, p_2)^{17}\text{O}^*$ с усредненным экспериментальным угловым распределением при $E_{^3\text{He}} = 3,8$ Мэв. 1 и 2-кривые, рассчитанные с использованием волновой функции $^{17}\text{O}^*_{3,06}$ Бобкера /1/ и Марголиса /кривая 2/; 3 - вклад механизма составного ядра, рассчитанный по методу Хаузера-Фешбаха.